

ENUNCIADO DEL EJEMPLO 6

Un disco homogeneo de masa M y radio r gira por el perimetro de otro disco de masa M2 y radio dist estando ligado al eje del segundo disco por medio de una varilla de masa m y longitud l. Este segundo disco descansa horizontalmente sobre le plano XOY.

Se define entonces una ligadura anholonoma entre los dos discos.

Paso 0. Reiniciación de las variables del sistema y llamada a los paquetes linalg, plots y plottools.

> **restart:**

> **with(linalg):with(plots):with(plottools):**

```
Warning, the protected names norm and trace have been redefined and unprotected
```

```
Warning, the name changecoords has been redefined
```

```
Warning, the name arrow has been redefined
```

Además de estos paquetes básicos serán necesario cargar el paquete mecapac indicándole a Maple su situación exacta.

> **libname:="C:/",libname;**

```
libname:= "C:/", "C:\Archivos de programa\Maple 9/lib"
```

> **with(mecapac3d):**

Paso 1. Definimos las coordenadas generalizadas theta y phi del sistema en una lista que se denominará cg.

> **cg:=[theta,phi]:**

Paso 2. Definición mediante variables de los elementos que forman el sistema mecánico. Es decir, la varilla y los dos discos.

> **rot1:=rota(theta,3):**

> **rot2:=rota(-Pi/3,2):**

> **rottot:=evalm(rot1&*rot2):**

Definimos las coordenadas del centro de masa de la varilla.

> **xg:=[l/2*sin(Pi/3)*cos(theta),l/2*sin(Pi/3)*sin(theta),r*sin(Pi/3)+l/2*cos(Pi/3)];**

$$xg := \left[\frac{1}{4} l \sqrt{3} \cos(\theta), \frac{1}{4} l \sqrt{3} \sin(\theta), \frac{1}{2} r \sqrt{3} + \frac{1}{4} l \right]$$

Definimos la varilla.

> **v1:=[varilla,xg,rottot,m,l];**

$$v1 := \left[\text{varilla}, \left[\frac{1}{4} l \sqrt{3} \cos(\theta), \frac{1}{4} l \sqrt{3} \sin(\theta), \frac{1}{2} r \sqrt{3} + \frac{1}{4} l \right], \text{rottot}, m, l \right]$$

Ahora hacemos exactamente lo mismo con los dos discos.

```
> rotpd:=rota(theta,3);
> rot3:=rota(-Pi/3,2);
> rot4:=rota(phi,3);
> r2:=evalm(rot3&*rot4);
> rottot2:=evalm(rotpd&*r2);
> xg2:=[l*sin(Pi/3)*cos(theta),l*sin(Pi/3)*sin(theta),r*cos(Pi/6)];
> d1:=[disco,xg2,rottot2,M,r];
```

$$d1 := \left[\text{disco} \left[\frac{1}{2} l \sqrt{3} \cos(\theta), \frac{1}{2} l \sqrt{3} \sin(\theta), \frac{1}{2} r \sqrt{3} \right], \text{rottot2}, M, r \right]$$

Definimos ahora el segundo disco

```
> dist:=l*sin(Pi/3)-r*sin(Pi/6);
> rot5:=rota(0,1);
> d2:=[disco,[0,0,0],rot5,M2,dist];
```

$$d2 := \left[\text{disco} [0, 0, 0], \text{rot5}, M2, \frac{1}{2} l \sqrt{3} - \frac{1}{2} r \right]$$

Paso 3. Definición de los elementos gráficos que definirán nuestro sistema de ejes.

```
> a2:=[angulo,[dist/2,0,0],[0,0,0],[(l/2*sin(Pi/3)*cos(theta))/2,(l/2*sin(Pi/3)*sin(theta))/2,0],(dist/2)];
> ejeX:=[vector,[0,0,0],[10,0,0],red];
> ejeY:=[vector,[0,0,0],[0,10,0],green];
> ejeZ:=[vector,[0,0,0],[0,0,10],blue];
> TO := [texto,[0,0,-1],"O"];
> TX := [texto,[10,0,-1],"X"];
> TY := [texto,[0,10,-1],"X"];
> TZ := [texto,[0,0,11],"Z"];
```

Paso 4. Definición de la variable sistema que agrupa en una lista todos los elementos anteriores.

```
> sistema:=[v1,d1,d2,a2,ejeX,ejeZ,ejeY,TO,TX,TY,TZ];
sistema= \left[ \left[ \text{varilla}, \left[ \frac{1}{4} l \sqrt{3} \cos(\theta), \frac{1}{4} l \sqrt{3} \sin(\theta), \frac{1}{2} r \sqrt{3} + \frac{1}{4} l \right], \text{rottot}, m, l \right], \right.
```

$$\left. \left[\text{disco} \left[\frac{1}{2} l \sqrt{3} \cos(\theta), \frac{1}{2} l \sqrt{3} \sin(\theta), \frac{1}{2} r \sqrt{3} \right], \text{rottot2}, M, r \right] \right],$$

```


$$\left[ \begin{array}{l} \text{disco} [0, 0, 0], \text{rot5}, M2, \frac{1}{2} I \sqrt{3} - \frac{1}{2} r \\ \text{angulo} \left[ \frac{1}{4} I \sqrt{3} - \frac{1}{4} r, 0, 0 \right], [0, 0, 0], \left[ \frac{1}{8} I \sqrt{3} \cos(\theta), \frac{1}{8} I \sqrt{3} \sin(\theta), 0 \right], \frac{1}{4} I \sqrt{3} - \frac{1}{4} r \\ [\text{vector} [0, 0, 0], [10, 0, 0], \text{red}], [\text{vector} [0, 0, 0], [0, 0, 10], \text{blue}], [\text{vector} [0, 0, 0], [0, 10, 0], \text{green}], \\ [\text{texto} [0, 0, -1], "O"], [\text{texto} [10, 0, -1], "X"], [\text{texto} [0, 10, -1], "X"], \\ [\text{texto} [0, 0, 11], "Z"] \end{array} \right]$$


```

Paso 5. Obtención de la energía potencial del sistema mediante fV asignándola a la variable V.

> **V:=fV(sistema);**

$$V := mg \left(\frac{1}{2} r \sqrt{3} + \frac{1}{4} I \right) + \frac{1}{2} M g r \sqrt{3}$$

Paso 6. Obtención de la energía cinética del sistema mediante fT asignándola a la variable T.

> **T:=simplify(fT(sistema));**

$$T := \frac{1}{8} \theta_1^2 m l^2 + \frac{3}{8} M l^2 \theta_1^2 + \frac{5}{32} M r^2 \theta_1^2 + \frac{1}{4} M r^2 \phi_1^2 + \frac{1}{4} M r^2 \phi_1 \theta_1$$

Paso 7. Obtención de la lagrangiana como diferencia de energías entre la energía cinética y la potencial.

> **L:=simplify(T-V);**

$$L := \frac{1}{8} \theta_1^2 m l^2 + \frac{3}{8} M l^2 \theta_1^2 + \frac{5}{32} M r^2 \theta_1^2 + \frac{1}{4} M r^2 \phi_1^2 + \frac{1}{4} M r^2 \phi_1 \theta_1 - \frac{1}{2} m g r \sqrt{3} - \frac{1}{4} m g l - \frac{1}{2} M g r \sqrt{3}$$

Paso 8. Puesto que las ligaduras son anholonomas definimos la ligadura mediante la relacion de velocidades en el centro instantaneo de rotacion del disco que gira.

> **Phi:=[theta1*dist-phi1*r];**

$$\Phi := \left[\theta_1 \left(\frac{1}{2} I \sqrt{3} - \frac{1}{2} r \right) - \phi_1 r \right]$$

Hallando la reaccion producida en ese punto

> **reacc:=Fc();**

$$\text{reacc} :=$$

$$\begin{aligned}
& -\frac{1}{2(18Ml^2 + 3Mr^2 + 4ml^2)} \left(\left(\frac{1}{2}l\sqrt{3} - \frac{1}{2}r \right) M(4ml^2 + 12Ml^2 + 3Mr^2) \right. \\
& \left. \frac{16 \left(\frac{1}{2}l\sqrt{3} - \frac{1}{2}r \right)}{4ml^2 + 12Ml^2 + 3Mr^2} + \frac{8r}{4ml^2 + 12Ml^2 + 3Mr^2} \right) \left(\left(\frac{1}{4}ml^2 + \frac{3}{4}Ml^2 + \frac{5}{16}Mr^2 \right) \left(\frac{d^2}{dt^2}\theta(t) \right) \right. \\
& \left. - \frac{1}{4} \left(\frac{d^2}{dt^2}\theta(t) \right) ml^2 - \frac{3}{4}Ml^2 \left(\frac{d^2}{dt^2}\theta(t) \right) - \frac{5}{16}Mr^2 \left(\frac{d^2}{dt^2}\theta(t) \right) \right), \\
& \frac{1}{2(18Ml^2 + 3Mr^2 + 4ml^2)} \left(rM(4ml^2 + 12Ml^2 + 3Mr^2) \right. \\
& \left. \frac{16 \left(\frac{1}{2}l\sqrt{3} - \frac{1}{2}r \right)}{4ml^2 + 12Ml^2 + 3Mr^2} \right. \\
& \left. + \frac{8r}{4ml^2 + 12Ml^2 + 3Mr^2} \right) \left(\left(\frac{1}{4}ml^2 + \frac{3}{4}Ml^2 + \frac{5}{16}Mr^2 \right) \left(\frac{d^2}{dt^2}\theta(t) \right) - \frac{1}{4} \left(\frac{d^2}{dt^2}\theta(t) \right) ml^2 \right. \\
& \left. - \frac{3}{4}Ml^2 \left(\frac{d^2}{dt^2}\theta(t) \right) - \frac{5}{16}Mr^2 \left(\frac{d^2}{dt^2}\theta(t) \right) \right) \right]
\end{aligned}$$

Particularizamos en el instante $t=1$. Quedando solo en función de las dimensiones del sistema.

> **reacc[1];**

$$-\frac{1}{2(18Ml^2 + 3Mr^2 + 4ml^2)} \left(\left(\frac{1}{2}l\sqrt{3} - \frac{1}{2}r \right) M(4ml^2 + 12Ml^2 + 3Mr^2) \right. \\
\left. \frac{16 \left(\frac{1}{2}l\sqrt{3} - \frac{1}{2}r \right)}{4ml^2 + 12Ml^2 + 3Mr^2} \right)$$

$$\left. \left[+ \frac{8r}{4m\dot{l}^2 + 12M\dot{l}^2 + 3Mr^2} \right] \left(\left(\frac{1}{4}m\dot{l}^2 + \frac{3}{4}M\dot{l}^2 + \frac{5}{16}Mr^2 \right) \left(\frac{d^2}{dt^2}\theta(t) \right) - \frac{1}{4} \left(\frac{d^2}{dt^2}\theta(t) \right) m\dot{l}^2 \right. \right. \\ \left. \left. - \frac{3}{4}M\dot{l}^2 \left(\frac{d^2}{dt^2}\theta(t) \right) - \frac{5}{16}Mr^2 \left(\frac{d^2}{dt^2}\theta(t) \right) \right) \right]$$

Paso 9. Obtención de las ecuaciones de lagrange para las dos coordenadas generalizadas mediante el operador Ec_lag

> **ec_lagr();**

$$\left[\left(\frac{1}{4} \left(\frac{d^2}{dt^2}\theta(t) \right) m\dot{l}^2 + \frac{3}{4}M\dot{l}^2 \left(\frac{d^2}{dt^2}\theta(t) \right) + \frac{5}{16}Mr^2 \left(\frac{d^2}{dt^2}\theta(t) \right) + \frac{1}{4}Mr^2 \left(\frac{d^2}{dt^2}\phi(t) \right) \right. \right. \\ \left. \left. + \frac{1}{2(18M\dot{l}^2 + 3Mr^2 + 4m\dot{l}^2)} \left(\left(\frac{1}{2}I\sqrt{3} - \frac{1}{2}r \right) M(4m\dot{l}^2 + 12M\dot{l}^2 + 3Mr^2) \right. \right. \right. \\ \left. \left. \left. - \frac{16}{4m\dot{l}^2 + 12M\dot{l}^2 + 3Mr^2} + \frac{8r}{4m\dot{l}^2 + 12M\dot{l}^2 + 3Mr^2} \right) \left(\frac{1}{4}m\dot{l}^2 + \frac{3}{4}M\dot{l}^2 + \frac{5}{16}Mr^2 \right) \left(\frac{d^2}{dt^2}\theta(t) \right) \right. \right. \\ \left. \left. - \frac{1}{4} \left(\frac{d^2}{dt^2}\theta(t) \right) m\dot{l}^2 - \frac{3}{4}M\dot{l}^2 \left(\frac{d^2}{dt^2}\theta(t) \right) - \frac{5}{16}Mr^2 \left(\frac{d^2}{dt^2}\theta(t) \right) \right) \right), \\ \frac{1}{2}Mr^2 \left(\frac{d^2}{dt^2}\phi(t) \right) + \frac{1}{4}Mr^2 \left(\frac{d^2}{dt^2}\theta(t) \right) \right]$$

$$\begin{aligned}
 & -\frac{1}{2(18Ml^2 + 3Mr^2 + 4ml^2)} \left(rM(4ml^2 + 12Ml^2 + 3Mr^2) \left(\frac{16\left(\frac{1}{2}l\sqrt{3} - \frac{1}{2}r\right)}{4ml^2 + 12Ml^2 + 3Mr^2} \right. \right. \\
 & \left. \left. + \frac{8r}{4ml^2 + 12Ml^2 + 3Mr^2} \right) \left(\left(\frac{1}{4}ml^2 + \frac{3}{4}Ml^2 + \frac{5}{16}Mr^2 \right) \left(\frac{d^2}{dt^2}\theta(t) \right) - \frac{1}{4} \left(\frac{d^2}{dt^2}\theta(t) \right) ml^2 \right. \right. \\
 & \left. \left. - \frac{3}{4}Ml^2 \left(\frac{d^2}{dt^2}\theta(t) \right) - \frac{5}{16}Mr^2 \left(\frac{d^2}{dt^2}\theta(t) \right) \right) \right)
 \end{aligned}$$

Paso 10. Asignación de valores numéricos a los parámetros que quedan sin asignar para poder proceder a la integración numérica.

> g:=9.81:m:=5:M:=10:M2:=20:l:=8:r:=2;

Paso 11. Integración numérica del problema mediante la función fint asignando el resultado a la variable res.

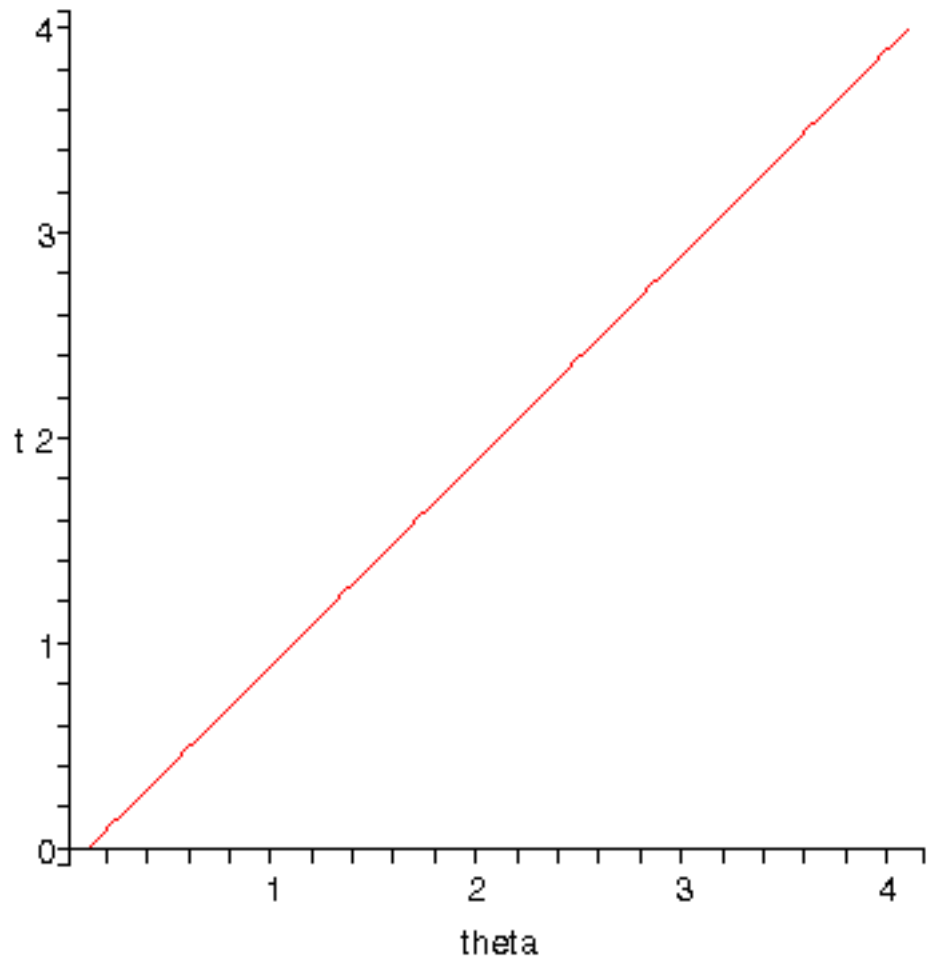
> res:=fintr([0.1,1.,0.1,1.]);
 res:= proc x_rkf45 ... end proc

> res(1);

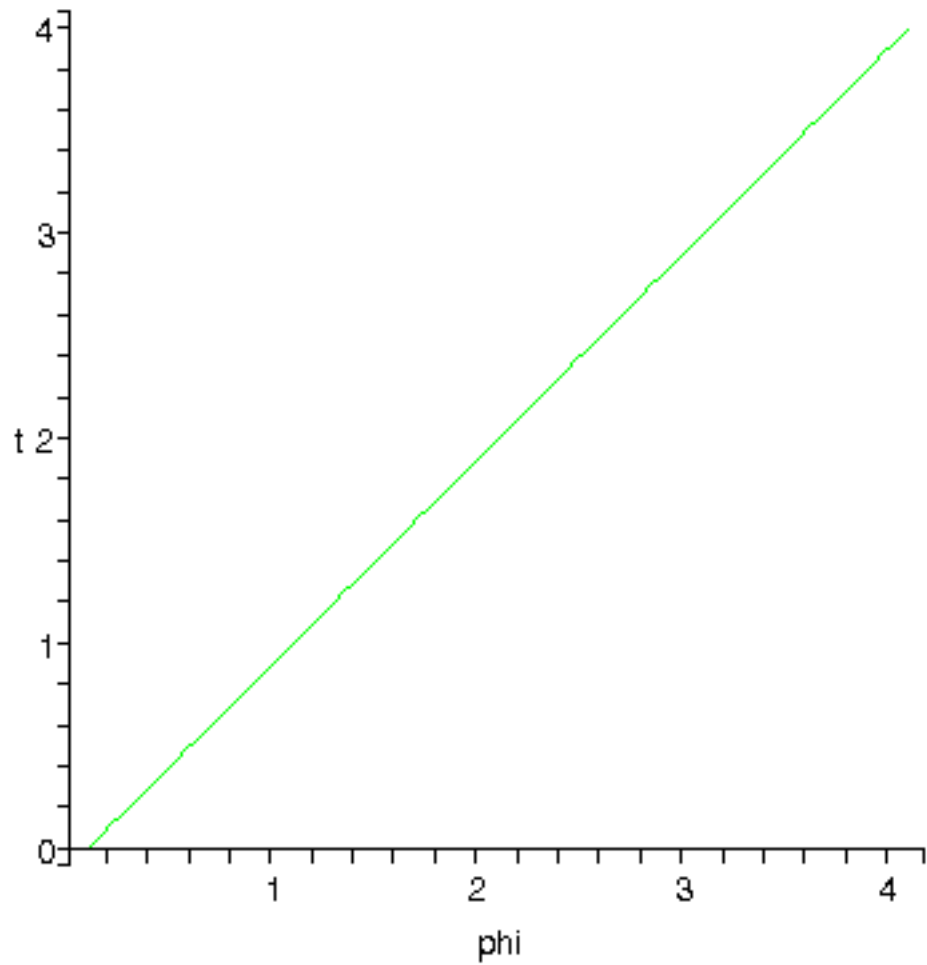
$t = 1., \phi(t) = 1.1000000000000008, \frac{d}{dt}\phi(t) = 1., \theta(t) = 1.1000000000000008, \frac{d}{dt}\theta(t) = 1.$

Paso 12. Representación gráfica de las evoluciones temporales de la evolución temporal de theta mediante odeplot.

> odeplot(res,[theta(t),t], 0..4, color=red,numpoints=100);

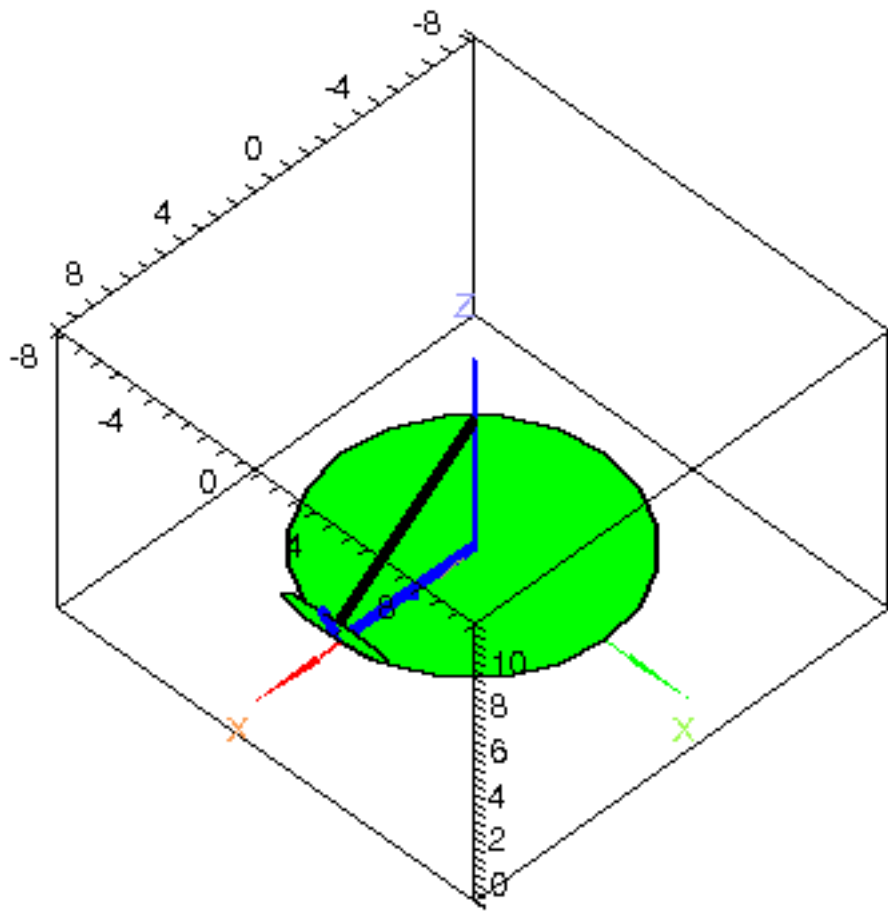


```
> odeplot(res,[phi(t),t],0..4,color=green,numpoints=100);
```



Paso 13. Procedemos a realizar una animación del movimiento del conjunto por medio de la función dibu3.

> **dibu3(6.3,40);**



V